

شناصایی ژن‌های مسیر بیوسنتزی اسکلت ترپن در گیاه دارویی زنیان

RNA با استفاده از توالی‌بایی (*Trachyspermum ammi L.*)

Identification of terpenoid backbone biosynthetic pathway genes in Ajowan (*Trachyspermum ammi L.*) by RNA-Seq

محبوبه امیری پور^۱، سیداحمد سادات نوری^{*۲}، وحید شریعتی^۳، مهدی سلطانی هویزه^۱

۱- دانشجوی دکتری، گروه زراعت و اصلاح نباتات، دانشگاه تهران، پردیس ابوریحان

۲- استاد، گروه زراعت و اصلاح نباتات، دانشگاه تهران، پردیس ابوریحان

۳- استادیار، پژوهشگاه ملی مهندسی ژنیک

Amiripour M¹, Sadat Nouri SA^{*2}, Shariati V³, Soltani Howyzeh M¹

1- PhD Student, Abouraihan Campus, Department of Agronomy and Plant Breeding,
University of Tehran

2- Professor, Abouraihan Campus, Department of Agronomy and Plant Breeding,
University of Tehran

3- Assistant Professor, National Institute of Genetic Engineering and Biotechnology

* نویسنده مسئول مکاتبات، پست الکترونیکی: noori@ut.ac.ir

(تاریخ دریافت: ۹۶/۹/۲۱ - تاریخ پذیرش: ۹۶/۱۲/۱۳)

چکیده

توالی‌بایی RNA می‌تواند شناسایی ژن‌های کلیدی مرتبط با ساخت متابولیت‌های ثانویه گیاهی را تسهیل و تسريع نماید. بدور گیاه دارویی زنیان دارای ۲ تا ۹ درصد انسانس هستند که اصلی‌ترین ترکیبات آن را مونوتربن‌های تیمول، گاماترپین و پاراسیمن تشکیل می‌دهد. در این پژوهش مطالعه ترسنکریپتوم گیاه دارویی زنیان با استفاده از توالی‌بایی RNA با تکنیک پربازدۀ Illumina de novo انجام گرفت. تعداد ۴۲۲۶۰۸۳۰ خوانش دارای کیفیت مناسب بعد از یکپارچه‌سازی با برنامه Trinity، متهی به تولید ۶۸۰۵۱ عدد تک‌ژن با میانگین طول ۴/۸۵۹ و N50 معادل ۱۲۵۷ جفت باز شد. جهت شناسایی تک‌ژن‌های مرتبط با مسیر بیوسنتزی اسکلت ترپن، توالی تک‌ژن‌ها در پایگاه KASR بازگذاری شد. بر اساس نتایج حاصل تعداد ۳۰ ژن موجود در مسیر بیوسنتزی اسکلت ترپن شناسایی شد که مشتمل بر تمامی ژن‌های دو مسیر بیوسنتزی اسکلت ترپن (MEV و MVA) از ابتدای مسیر تا تولید ایزوبنیل دیفسفات بود. آنزیمهای درگیر در مسیر MEV که در این پژوهش شناسایی شدند شامل ۱- دنوکسی-دی-زاپلولوز ۵-فسفات سنتاز (DXS)، ۱- دنوکسی-دی-زاپلولوز ۵ فسفات رداکتوایزومراز (DXR)، ۲- سی-متیل-دی-اریترینول ۴-فسفات سیتیدیلیل ترنسفراز (ispD)، ۴- دی-فسفوسیتیدیل-۲-سی-متیل-دی-اریترینول کیناز (ispE)، ۲- سی-اتیل-دی-اریترینول ۲ و ۴- سیکلودی فسفات سنتاز (ispF)، ۴- هیدروکسی-۳-متیل بوت-۲-انیل دی- فسفات سنتاز (gcpE)، ۴- هیدروکسی-۳-متیل بوت-۲-انیل دی- فسفات ردوکتاز (GPS) و به همین ترتیب دی- فسفات دلتا ایزومراز، ایزوبن سنتاز (ispS)، و ژرانیل-دی- فسفات سنتاز (HMGCR) کوآنزیم آ سنتاز، HMG- کوآنزیم آ سنتاز، آنزیمهای مسیر MEV شامل استیل-کوآنزیم آ استیل ترنسفراز، HMG- کوآنزیم آ سنتاز، HMGCR، موالونات کیناز، فسفوموالونات کیناز و موالونات دی- فسفات دی- فسفات سنتاز (HMGCR)، کربوکسیلاز بودند شناسایی توالی ژن‌های مسیر بیوسنتزی اسکلت ترپن می‌تواند زمینه‌ساز پژوهش‌های آینده در جهت مطالعه بیشتر، بیش‌بیان و مهندسی متابولیت این ژن‌ها شود.

واژه‌های کلیدی

مجموعه رونوشت ژنوم

ترپن‌وئید

چتریان

MEV

MVA

مقدمه

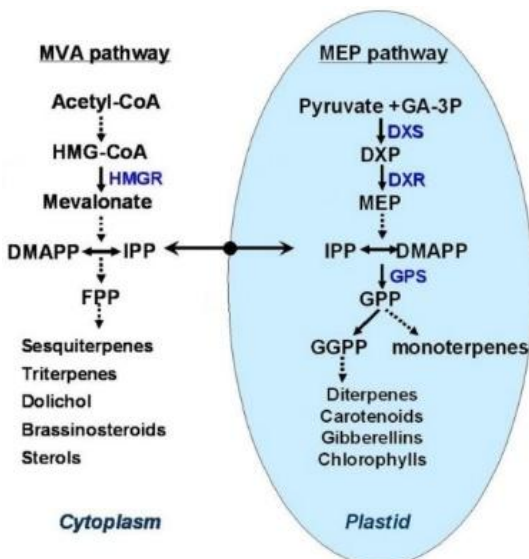
یا خانواده‌های ژنی کدکننده آنزیم‌های درگیر در مسیرهای متابولیکی مطرح شده است (Drew et al. 2013). امروزه با استفاده از بن‌سازه‌های^۱ توالی‌یابی نسل جدید^۲ (NGS)، می‌توان ترنسکریپтом را عمیق‌تر و وسیع‌تر مطالعه کرد. هزینه پایین توالی‌یابی‌های نسل جدید به‌همراه امکان یکپارچه‌سازی داده‌های ترنسکریپтом بدون نیاز به اطلاعات قبلی از ژنوم (de novo assembly) و تعیین کمیت فراوانی‌های رونوشت، راهی به‌سوی مطالعه گونه‌های مختلف گیاهی مشتمل بر گیاهان دارویی گشوده است (Hamilton and Robin Buell 2012). توالی‌یابی نسل جدید قادر است میلیاردها توالی کوتاه را هم‌زمان و بسته به نوع تکنولوژی عموماً به طول ۵۰–۸۰۰ جفت‌باز تولید کند و تولید داده‌های توالی که زمانی سال‌ها به‌طول می‌انجامید اکنون در چند روز یا حتی چند ساعت به‌دست می‌آید (Strickler et al. 2012). یکی از رایج‌ترین کاربردهای توالی‌یابی نسل جدید در مطالعه ترنسکریپтом، توالی‌یابی RNA^۳ نامیده می‌شود. توالی‌یابی RNA که اقتصادی‌تر و ممکن‌تر از توالی‌یابی کل ژنوم است، به‌عنوان انقلابی در مطالعه ترنسکریپтом مطرح شده است (Wang et al. 2009). این روش امکان بررسی مجموعه کامل ترنسکریپтом را با بازدهی بسیار بالا و به‌صورت کمی فراهم می‌کند. داده‌های حاصل از RNA-seq کاربردهای متنوعی دارند و می‌توان از آن برای توصیف ژن‌ها، به‌دست آوردن اطلاعات از رونوشت‌های جدید، بیان ژن، چندشکلی‌های تک-نوکلئوتیدی (mRNA)، پیرایش متنابض و تنوع ساختاری RNA پیامبر (SNP) استفاده کرد. توالی‌یابی RNA در گیاهان غیرمدل که فاقد اطلاعات ژنومی کافی هستند بسیار کاربردی است زیرا تمرکز توالی‌یابی بر نواحی کدکننده است. این نواحی معمولاً عناصر تکرارشونده کم‌تر و محتوای GC بالاتری دارند (Strickler et al. 2012). مراحل مطالعه تحلیلی ترنسکریپтом به‌طور خلاصه شامل استخراج RNA و ساخت کتابخانه cDNA، توالی‌یابی توسط تکنولوژی‌های توالی‌یابی نسل جدید، ویرایش اولیه داده‌های خام، یکپارچه‌سازی توالی‌های کوتاه، به‌دست آوردن تک ژن‌ها و در (assembly)

¹ Platform² Next Generation Sequencing³ RNA-seq

یکی از ویژگی‌های گیاهان، توانایی آن‌ها در سنتز و ذخیره انواع مختلفی از ترکیبات با وزن مولکولی پایین است که اصطلاحاً متابولیت‌های اختصاصی یا ثانویه یا فرآورده‌های طبیعی نامیده می‌شوند. برخلاف متابولیت‌های اولیه که برای حیات تمامی گیاهان ضروری هستند، هر یک از انواع متابولیت‌های ثانویه معمولاً در تعداد محدودی از گیاهان وجود داشته و درنتیجه گفته می‌شود این مواد برای متابولیسم اولیه ضروری نیستند (Wink 2011). سه دسته بزرگ متابولیت‌های ثانویه گیاهی به‌عنوان محصولات طبیعی وجود دارد؛ ترپن‌وئیدها، آلکالوئیدها و ترکیبات فنولی. ترپن‌ها فراوان‌ترین و متنوع‌ترین (از نظر ساختاری) محصولات طبیعی گیاهی هستند (Zwenger and Basu 2008).

بیان اهمیت متابولیت‌های ثانویه در طبیعت و برای انسان دشوار است و با توجه به نقش آن‌ها به‌عنوان ترکیبات سیگنالی و دفاعی، اهمیت این متابولیت‌ها برای حفظ شایستگی گیاه نیز آشکار می‌شود. از طرفی بسیاری از این ترکیبات ویژگی‌های بیولوژیکی یا دارویی جالب توجهی دارند که آن‌ها را جهت استفاده به‌عنوان دارو یا آفتکش‌های زیستی مفید می‌سازد. تخمین زده می‌شود که گیاهان بیش از ۲۵۰۰۰۰ متابولیت ثانویه مختلف را تولید می‌کنند (Pichersky and Lewinsohn 2011) که برای بیوستزی هرکدام تعداد زیادی آنزیم اختصاصی مورد نیاز است. درک مسیرهای بیوستزی برای تولید تجاری متابولیت‌های خاص ضروری است. متابولیت‌های اختصاصی گیاه اغلب مسیرهای بیوستزی طولانی و پیچیده‌ای داشته و شناسایی تمامی آنزیم‌های درگیر در آن عموماً چالش برانگیز است. ساختار بسیاری از مسیرها به‌صورت شبکه‌های آنژیمی پیچیده‌ای است که چندین محصول را تولید می‌کنند و درنتیجه کشف ژن‌های بیوستزی درگیر در متابولیسم اختصاصی گیاه یک چالش منحصر بفرد است. علاوه بر آن اغلب متابولیت‌های اختصاصی بالرزش از گیاهان غیرمدل به‌دست می‌آیند که اطلاعات ژنومی اندکی از آن‌ها موجود است (Xiao et al. 2013). با توجه به دشواری‌هایی که بر سر راه توالی‌یابی کل ژنوم وجود دارد، در سال‌های اخیر کاوش داده‌های ترنسکریپтомی به‌عنوان روشی کارآمد برای کشف ژن‌ها

فسفات^۷ (GPP) حاصل می‌شود که پیش‌ماده تمامی مونوتترپین‌ها، دی‌ترپین‌ها و تتراترپین‌ها (کاروتونوئیدها) است (Sapir-Mir et al. 2008, Sallaud et al. 2009 (شکل ۱). در مراحل بعدی اسکلت کربنی خطی GPP و FPP به‌وسیله آنزیم‌های ترپن سنتاز به اسکلت اصلی ترپنی تبدیل می‌شوند (Degenhardt et al. 2009).



شکل ۱- دو مسیر بیوستتری ساخت ترپن‌ها، برگرفته از (Yang et al. 2012)

گیاه زنیان با نام علمی *Trachyspermum ammi* گیاهی علفی و یکساله از تیره چتریان (Apiaceae) است. میوه (بذر) این گیاه دارای ۲ تا ۹ درصد اسانس بوده که ۴۰ تا ۶۰ درصد اسانس را مونوتترپن تیمول و مابقی آن را مونوتترپن‌های گاما‌تترپین، پاراسیمن، و کارواکرول تشکیل می‌دهد (Akbarinia et al. 2005, Davazdahemami et al. 2011, Zarshenas et al. 2014). منشأ این گیاه آسیاست و در کشورهای هند، ایران، افغانستان و مصر به‌طور طبیعی می‌روید یا کشت می‌شود (Akbarinia et al. 2005). با بررسی‌های دارویی ثابت شده است که میوه گیاه زنیان دارای خواص مختلف دارویی از قبیل آنتی اکسیدانی، ضد قارچی، ضد درد، ضد فشارخون، ضد اسپاسم، ضد سرفه، ضدانگل، ضد کرم و ضد فیلاریا می‌باشد (Bairwa 2012) که این خواص به اسانس آن بر می‌گردد. با توجه به اینکه این گیاه بومی ایران بوده و با عملکردی معادل ۲ تا ۳ تن دانه در هکتار، بیش از ۷۰ کیلوگرم

⁷ Geranyl diphosphate

نهایت تفسیر کارکردی تک ژن‌ها با استفاده از بانک‌های اطلاعاتی Roche 454 می‌باشد. در حال حاضر، توالی‌یابی‌های پر بازده Illumina و pyrosequencing بن‌سازه‌های رایج توالی‌یابی در مطالعات ترانسکریپتوم گیاهان دارویی هستند. پیشرفت در مراحل توالی‌یابی این فن‌آوری‌ها، از آماده‌سازی نمونه‌ها تا آنالیز داده‌ها، امکان مطالعه عمیق‌تر ترانسکریپتوم را فراهم کرده است. در نهایت بر اساس تک ژن‌های به‌دست آمده از آنالیز داده‌های حاصل از توالی‌یابی، توالی‌های کدکننده پروتئین که مبتنی بر داده‌های ترانسکریپتومی است، پیش‌بینی می‌شوند. بنابراین توالی‌یابی نسل جدید پریازده امکان توصیف سریع ترانسکریپتوم و در نتیجه ابزاری جامع برای کشف ژن و درک مسیرهای متابولیکی فراهم کرده است و مطالعات کارکردی این ژن‌ها اصلاح مولکولی، انتقال ژن و مهندسی متابولیت را تسهیل می‌کند تا تولید ماده دارویی هدف در این گیاهان افزایش یابد.

مطالعه ترانسکریپتوم مسیرهای متابولیکی می‌تواند زیربنای دستوری مسیرهای بیوستتری در گیاهان و بازسازی این مسیرها در میزبان‌های میکروبی باشد (Ajikumar et al. 2010). همان‌طور که قبل ذکر شد ترپن‌ها فراوان ترین گروه متابولیت‌های ثانویه گیاهی را تشکیل می‌دهند. اسکلت اصلی ترپن‌ها از مولکول‌های پنج کربنی ایزوبنتیل پیروفسفات^۱ (IPP) و ایزومر آن دای متیل آلیل پیروفسفات^۲ (DMAPP) تشکیل شده است که هردوی آن‌ها از مسیر سیتوزولیک مولونیک اسید^۳ (MVA) و مسیر پلاستیدی متیل-اریتریتول-فسفات^۴ (MEP) ستر می‌شوند. مسیر MVA با سه واحد استیل کوآنزیم A آغاز و منتهی به تولید فارنسیل پیروفسفات^۵ (FPP) می‌شود. FPP از الحقق دو واحد IPP و یک واحد DMAPP حاصل شده و پیش ماده تمامی سزکوئیتترپن‌ها^۶ و تری‌ترپن‌های است. مسیر MEP در پلاستیدها واقع شده و با گلیسرآلدهاید-۳-فسفات و پیرووات آغاز می‌شود. با الحقق یک مولکول DMAPP و یک مولکول IPP، ژرانیل دی

¹ Isopentenyl Pyrophosphate

² Dimethylallyl Pyrophosphate

³ the Mevalonic Acid Pathway

⁴ 2-C-methyl-D-erythritol 4-phosphate Pathway

⁵ Farnesyl Pyrophosphate

⁶ Sesquiterpenes

داده‌ها استفاده شد. داده‌های با کیفیت بالا برای آنالیزهای بعدی مورد استفاده قرار گرفت. با توجه به اینکه ژنوم گیاه زنیان توالی‌یابی نشده‌است، برای یکپارچه‌سازی^۱ خوانش‌ها از روش *de novo* assembly استفاده شد. به این منظور داده‌های باکیفیت بالا Trinity de novo RNA-Seq assembler با استفاده از نرمافزار با استفاده از نرمافزار (Grabherr et al. 2011) پس از بهینه‌سازی، Kmer معادل ۳۳ انتخاب و برای سایر پارامترهای نرمافزار Trinity از تنظیمات استاندارد استفاده شد. خروجی نرمافزار Trinity تکریونوشت^۲ نامیده می‌شود که از گروه‌بندی آن‌ها تک‌ژن‌ها حاصل شدند. تک‌ژن‌ها در پایگاه تفسیر خودکار KEGG^۴ (http://www.genome.jp/kegg/kaas)(KAAS) واقع در پایگاه مسیرهای بیوسترنی^۵ (http://www.genome.jp/kegg/)(KAAS) قرار داده شدند تا به آن‌ها عدد KO^۶ تخصیص یابد. تخصیص عدد KO بر اساس روش Single-directional Best Hit (SBH) انجام گرفت. پایگاه KAAS تفسیر توالی‌های ارسال شده را با استفاده از شناسه‌های KO به صورت خودکار انجام می‌دهد. هر KO معادل یک گروه ارتوolog از ژن‌هایی است که به صورت مستقیم به یک رکورد در مسیرهای پایگاه KEGG لینک شده (Moriya et al. 2007) و درنتیجه مرجع اطلاعات برای ارتباط دادن ژنوم‌ها به سیستم زیستی است.

نتایج

متabolیت‌های ثانویه عمده‌تا در میوه (بذر) زنیان تجمع می‌یابند. برای دستیابی به ترانسکرپتوم زنیان که دارای حداقل تعداد ژن‌های مرتبط با بیوسترن متabolیت‌های ثانویه باشد، RNA از گل آذین اکوتیپ "اراک" استخراج شد. بر اساس مطالعات پیشین، این اکوتیپ دارای مقادیر بالای انسانس (۶/۱۱ درصد وزنی بذر) و عملکرد مونوتربن تیمول (۲/۶۴ درصد) در میان بیش از ۲۰

¹ Assembly

² Unigenes

³ Unitranscript

⁴ KEGG Automatic Annotation Server

⁵ The Kyoto Encyclopedia of Genes and Genome

⁶ KEGG Orthology

اسانس را در هектار از این گیاه قابل استحصال است (Akbarinia et al. 2005)، بررسی و مطالعه ژن‌های مرتبط با بیوسترن متabolیت‌های ثانویه آن و بویژه مونوتربن‌ها که اجزای اصلی تشکیل دهنده اسانس آن هستند اهمیت خاصی پیدا می‌کند. در حال حاضر بجز تعداد محدودی توالی نوکلئوتیدی در پایگاه NCBI (https://www.ncbi.nlm.nih.gov/nuccore/?term=Trachysper) نرسیده است. این پژوهش به منظور شناسایی توالی رونوشت‌های مرتبط با بیوسترن اسکلت اصلی تربن در گیاه زنیان انجام شد.

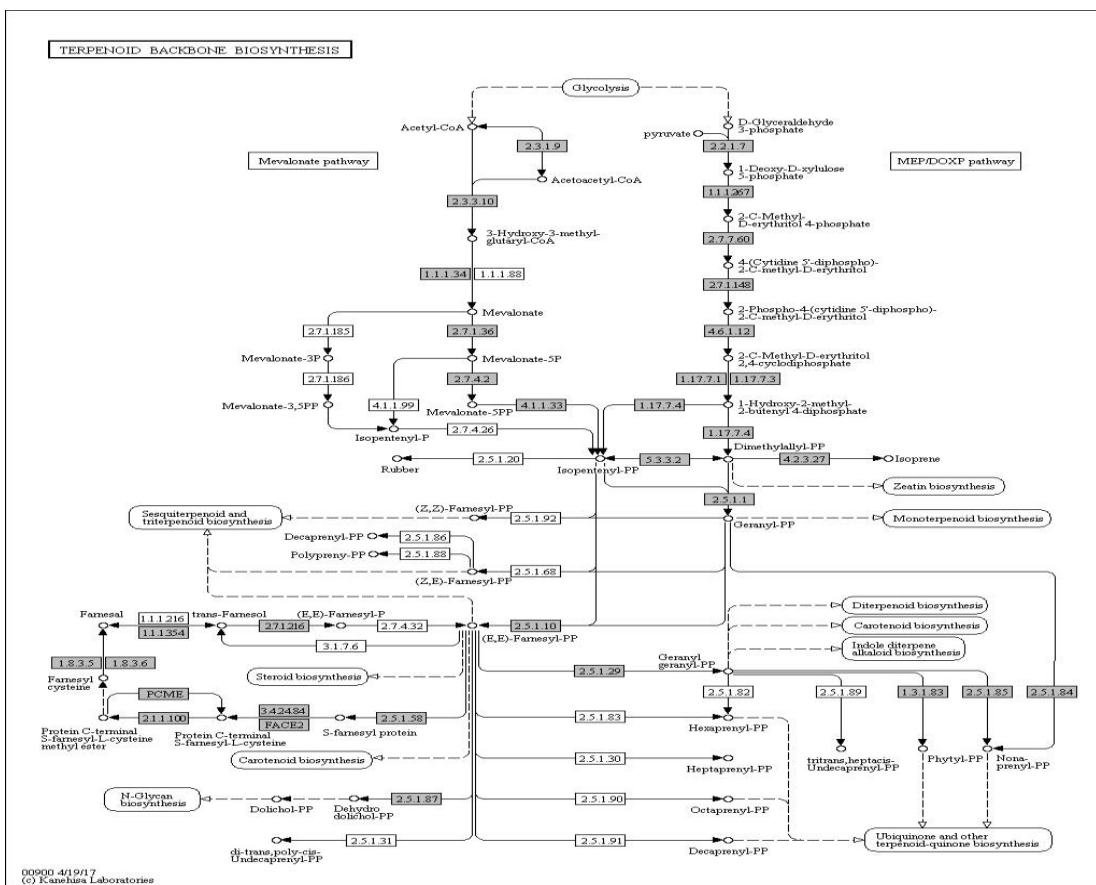
مواد و روش‌ها

یک اکوتیپ گیاه زنیان با نام "اراک" که بذر آن از موسسه تحقیقات جنگل‌ها و مراعع کشور (با کد دسترسی ۱۴۴۹۲) تهیه شده بود در مزرعه آزمایشی پرdis ابوریحان دانشگاه تهران کشت شد. انتخاب مرحله نموی گل آذین بر اساس مطالعات قبلی صورت گرفت (Soltani-Howyzed 2017). پنج نمونه گل آذین در مرحله رشدی پنج روز پس از گرده افسانی تهیه، بلافصله در نیتروژن مایع منجمد و تا زمان استفاده در دمای ۸۰- درجه سانتی‌گراد نگهداری شد. RNA کل از پنج نمونه با استفاده از ماده ترازیول (Invitrogen) مطابق با دستورالعمل کارخانه استخراج، با هم مخلوط و سپس با آنزیم DNase I تیمارشده. کیفیت و کمیت نمونه‌ی RNA به ترتیب با استفاده از ژل آکارز یک درصد و دستگاه نانودرایپ تعیین شد. نمونه به موسسه BGI (چین) ارسال و با بن‌سازه Illumina HiSeq 2000 به صورت خوانش‌های جفت انتهایی 2x100 توالی‌یابی شد. اطلاعات خام در بخش SRA سایت NCBI به شماره پذیرش SRR5137050 بارگذاری شدند. حذف توالی‌های آدپتور و داده‌های بی‌کیفیت توسط نرمافزار Trimmomatic v0.30 (http://www.usadellab.org/cms/index.php?page=trimmmatic) (Bolger et al. 2014) انجام گرفت. توالی‌های با طول زیر ۵۰ نوکلئوتید و نوکلئوتیدهای با کیفیت کمتر از ۲۰ حذف شد. سپس FastQC نرمافزار (http://www.bioinformatics.babraham.ac.uk/projects/fastqc) برای بررسی خصوصیات کتابخانه و همچنین تأیید کارایی پیرایش

مسیر زیستی قرار گرفتند. پر تعدادترین مسیرها به ترتیب "مسیرهای متابولیکی" (۳۲۴۱ تک ژن، ko01100)، "بیوستز متابولیت‌های ثانویه" (۱۹۶۵ تک ژن، ko01110)، "ریبوزوم" (۷۱۴ تک ژن)، "اسپلایسوزوم" (۴۲۲ تک ژن، ko03040)، "فراوری پروتئین در شبکه اندوپلاسمی" (۴۲۶ تک ژن)، "انتقال سیگنال هورمونی گیاه" (۴۱۸ تک ژن، ko04141)، "بیوستز فنیل پروپانوئید" (۱۶۹ تک ژن) و پس از آن "بیوستز اسکلت ترپنoid" (۹۳ تک ژن) دارای بیشترین تک ژن‌ها بودند. مونوتترپن‌ها که اجزای اصلی تشکیل دهنده انسان زنیان هستند از پیش ماده IPP حاصل از مسیر MEP سترز می‌شوند. تعداد نتایج حاصل از تفسیر کارکردی تک ژن‌ها در پایگاه KEGG متنه‌ی به MEP شناسایی رونوشت‌های مرتبط با ۳۰ ژن مسیرهای بیوستزی و MVA در داده‌های ترنسکریپتوم گل آذین زنیان شد (جدول ۱ و شکل ۲).

اکوتب بوده (Mirzahosseini et al. 2017) و همچنین در زمان ۵ روز پس از گردهافشانی مقادیر مونوتترپن‌ها در انسان به مقدار قابل توجهی می‌رسد (Soltani-Howyzeh 2017). توالی‌بایی با بن‌سازه Illumina HiSeq2000 انجام گرفت و در نتیجه ۴۲۲۶۰۸۳۰ خوانش حاصل شد که از این تعداد ۴۶۰۸۵۹۶۴ خوانش دارای کیفیت مناسب جهت آنالیزهای بعدی بودند. یکپارچه‌سازی Trinity de novo با برنامه KAAS با میانگین طول ۱۰۰۹/۷ جفت‌باز شد. توالی این عدد تک ژن با میانگین KAAS بارگذاری شد.

KEGG یکی از پرکاربردترین پایگاه‌های اطلاعاتی زیستی در جهان است که مجموعه ژن‌های یک ژنوم را به کارکردهای سلول و موجود مرتبط می‌کند و این کار را به طور خاص از طریق نقشه‌های مسیر KEGG انجام می‌دهد (Kanehisa et al. 2015). در این پژوهش از پایگاه KAAS به منظور نقشه‌بایی مسیرهای KEGG برای ژن‌های ارتو لوگ مربوطه استفاده شد. در مجموع ۱۴۹۸۶ تک ژن در این پایگاه تفسیر شدند که این تعداد در ۱۲۷



شکل ۲- آنالیز مسیر KEGG نمایان گر ژن‌های در گیر در بیوستز اسکلت ترپن. مستطیلهای خاکستری آنژیمهای موجود در ترنسکریپتوم گل آذین زنیان را نشان می‌دهند.

بحث

مسیر بیوستزی MVA و MEP متابولیت‌های ثانویه آن در مطالعه‌ای با استفاده از توالی‌بایی نسل جدید ترانسکریپتوم شناسایی شده است (Sangwan et al. 2013). مهم‌ترین دارویی ضد مالاریا یعنی آرتمیسین که یک لاكتون سزکوئی‌ترپن است، در تریکوم‌های غده‌ای درمنه (*Artemisia annua*) تولید می‌شود. در مطالعه‌ای ترانسکریپتوم تریکوم‌های غده‌ای *A. annua* به‌وسیله بن‌سازه 454 pyrosequencing (Wang et al. 2009) توصیف و کارکردهای بالقوه بیش از ۲۸۵۷۳ تک ژن شناسایی شد که مشتمل بر آنزیم‌های احتمالاً درگیر در بیوستز سزکوئی‌ترپن بود. در این تحقیق هم‌چنین تک ژن‌های کدکننده آنزیم‌های مسیر MEP و MVA و تمام آنزیم‌های مسیر سزکوئی‌ترپن آرتمیسین در مجموعه داده حاصل از توالی‌بایی RNA به‌دست آمد. تک ژن‌های مربوط به آنزیم‌های مسیر MEP دو برابر رونوشت‌های MVA بودند و این نشان می‌دهد مسیر MEP مسیر اصلی برای تولید در تریکوم‌های *A. annua* DMAPP/IPP است.

استفاده از مطالعه تحلیلی ترانسکریپتوم تاکنون منجر به شناسایی تعداد زیادی از ژن‌های مرتبط با بیوستز متابولیت‌های ثانویه با ارزش گیاهان دارویی و از جمله انواع ترپن‌ها شده است. خطر انقرض است که بیشتر به‌دلیل خاصیت تقویت قوای جنسی ناشی از حضور ساپونین‌ها در آن شناخته شده است. با استفاده از مطالعه تحلیلی ترانسکریپتوم تعریباً تمامی ژن‌های مرتبط با مسیرهای بیوستز MVA و MEP درگیر در ستر ساپونین‌ها و همین‌طور ژن‌های مرتبط با بیوستز فلاونوئید و آلالوئیدها در این گیاه شناسایی شد (Kalra et al. 2013). آنالیز ترانسکریپتوم گونه *Bupleurum Chinese* از خانواده چتریان که یک گیاه دارویی مهم در طب سنتی چین است متوجه به یافتن تعدادی از ژن‌های کاندید مرتبط با بیوستز اسکلت سایکوساپونین‌ها شد (Sui et al. 2011). گیاه آب بشقابی (*Centella asiatica*) گونه دارویی مهم دیگری از چتریان است که اکثر ژن‌های مرتبط با دو

¹ جدول ۱- آنزیم‌های درگیر در بیوستز اسکلت ترپن در ترانسکریپتوم گل آذین زینیان بر اساس نتایج پایگاه KEGG. عدد داخل پرانتز نشان دهنده تعداد تک رونوشت موجود برای هر تک ژن است.

کو	شناسه تک ژن زینیان	شناسه ko	توصیف آنزیم	عدد [*] EC
K 0 0 0 2 1	21724, 43134, 46370, 87803, 17049 (2)		HMGCR; hydroxymethylglutaryl-CoA reductase (NADPH)	[EC:1.1.1.34]
K00099	44875		dxr; 1-deoxy-D-xylulose-5-phosphate reductoisomerase	[EC:1.1.1.267]
K00587	55995(9)		ICMT; protein-S-isoprenylcysteine O-methyltransferase	[EC:2.1.1.100]
K00626	16455, 25492(2), 38901 (2), 41178, 42255, 45391, 57396		acetyl-CoA C-acetyltransferase	[EC:2.3.1.9]
K00787	45915		FDPS; farnesyl diphosphate synthase	[EC:2.5.1.1 2.5.1.10]
K00869	23196, 28766, 54851 (4)		mevalonate kinase	[EC:2.7.1.36]
K00919	36615		ispE; 4-diphosphocytidyl-2-C-methyl-D-erythritol kinase	[EC:2.7.1.148]
K00938	56695 (3), 89833		phosphomevalonate kinase	[EC:2.7.4.2]
K00991	42987 (3)		ispD; 2-C-methyl-D-erythritol 4-phosphate cytidylyltransferase	[EC:2.7.7.60]
K01597	43442, 104780		MVD; diphosphomevalonate decarboxylase	[EC:4.1.1.33]
K01641	43372		hydroxymethylglutaryl-CoA synthase	[EC:2.3.3.10]
K01662	30805, 44346, 46265, 50586, 82996, 836		dxs; 1-deoxy-D-xylulose-5-phosphate synthase	[EC:2.2.1.7]
K01770	37821		ispF; 2-C-methyl-D-erythritol 2,4-cyclodiphosphate synthase	[EC:4.6.1.12]
K01823	41437		idi; isopentenyl-diphosphate delta-isomerase	[EC:5.3.3.2]
K03526	47244 (6), 21529		gcpE; (E)-4-hydroxy-3-methylbut-2-enyl-diphosphate synthase	[EC:1.17.7.1 1.17.7.3]
K03527	39578, 51891 (5), 52395, 56344 (3), 29238, 37220 (2)		ispH; 4-hydroxy-3-methylbut-2-en-1-yl diphosphate reductase	[EC:1.17.7.4]
K05356	29285, 53359 (3), 93590		SPS; all-trans-nonaprenyl-diphosphate synthase	[EC:2.5.1.84 2.5.1.85]
K05906	45249		PCYOX1; prenylcysteine oxidase / farnesylcysteine	[EC:1.8.3.5 1.8.3.6]

¹ Unitranscript

	lyase		
[EC:2.5.1.58]	FNTB; protein farnesyltransferase subunit beta	46353 (2)	K05954
[EC:2.5.1.58 2.5.1.59]	FNTA;protein farnesyltransferase/geranylgeranyltransferase type-1 subunit alpha	52762	K05955
[EC:3.4.24.84]	STE24; STE24 endopeptidase	29865, 31133, 42894	K06013
[EC:3.4.22.-]	RCE1; prenyl protein peptidase	42839 (3)	K08658
[EC:1.3.1.83]	chlP; geranylgeranyl reductase	34364, 54127	K10960
[EC:2.5.1.87]	DHDDS; ditrans,polyisoprenyl diphosphate synthase	29713, 36819, 48242, 51498, 54915 (2), 72424	K11778
[EC:4.2.3.27]	ispS; isoprene synthase	50287, 77104	K12742
[EC:2.5.1.1 2.5.1.10 2.5.1.29]	GGPS; geranylgeranyl diphosphate synthase, type II	28035, 30279, 42603, 44310, 74796, 91376	K13789
[EC:2.5.1.1]	GPS; geranyl diphosphate synthase	35063 (2)	K14066
[EC:3.1.1.1.-]	PCME; prenylcysteine alpha-carboxyl methyl esterase	43496 (4), 53520	K15889
[EC:1.1.1.216]	FLDH; farnesol dehydrogenase	39038 (2), 560	K15891
[EC:2.7.1.-]	FOLK; farnesol kinase	48929 (3)	K15892

بیوستری چندین ترکیب ضد سرطان مانند تاکسول^۲، کورکومین^۳ و وینblastین^۴ علاوه بر ترکیبات ضدمالاریا مانند آرتیمیسین و آلالکالوئیدهای آکریدونی شناسایی شد (Annadurai et al. 2013). صدها ژن جدید در مسیر MEP و سایر مسیرهای متابولیکی مرتب با بیوستری ترپنoidها، در مریم گلی (*Salvia miltiorrhiza*) (Shi et al.) (Camellia sinensis) (Yang et al. 2013) *Euphorbia* (Wenping et al. 2011) *Sa. miltorrhiza* (2011 Zhu) *Sophora japonica* (Barrero et al. 2011) *fischeriana* (Guo et al. 2013) *Dendrobium officinale* (et al. 2014) *Litsea* (He et al. 2012) (*Hypericum perforatum L.*) (Hao et al.) *Polygonum cuspidatum* (Han et al. 2013) *cubeba* (Zeng et al. 2010) *Epimedium* (al. 2012)، جنس گیاهان دارویی که قبلاً ذکر شدند شناسایی شده است. شناسایی ژن‌های مرتبط با بیوستری اسکلت ترپن می‌تواند در دستورزی این مسیرها در جهت افزایش ترپن‌های خاص در انسانس گیاه موثر باشد. بعنوان مثال یک مطالعه سیستم زیستی در تریکومهای غده‌ای ریحان (*Ocimum basilicum*) همبستگی مثبتی را بین سطح رونوشت، فراوانی پروتئین و همچنین فعالیت آنزیمی آنزیم‌های ۱-دئوكسی-دی-زاپلولوز ۵-فسفات رداکتوایزومراز (DXR) و ۱-دئوكسی-دی-زاپلولوز ۵-فسفات استاز (DXS) با عملکرد انسان نشان داد (Xie et al. 2008). همچنین نشان داده شده است که بیش بیان ژن DXR منجر به

در مطالعه‌ای بر روی گیاه *Taxus cuspidate* که تولیدکننده تاکسان (متابولیت ضدسرطان) است، تمام ژن‌های کدکننده هفت آنزیم مسیر پلاستیدی MEP در مجموعه داده حاصل از توالی‌بابی RNA شناسایی شدند (Wu et al. 2011). در گیاه *T. mairei* منبع مهم دیگری برای تاکسان است، همه ژن‌های کدکننده هفت آنزیم در مسیر پلاستیدی MEP در مجموعه داده‌های حاصل از توالی‌بابی RNA با بن‌سازه Illumina شناسایی شدند (Hao et al. 2011). کمپتوتسین^۱ یک ایندول آلکالوئید ترپنoid است که اثرات بالینی آن در درمان سرطان مشهود است. *Camptotheca acuminata* گونه بومی جنوب چین است که با نام "درخت شادی" شناخته می‌شود و برگ‌های آن حاوی کمپتوتسین است. در مطالعه‌ای با استفاده از توالی‌بابی RNA و آنالیز ترانسکریپتوم این گیاه ۲۰ ژن آنزیمی مرتبط با مسیر بیوستری اسکلت کمپتوتسین شناسایی و سه ژن کاندید در بالادست مسیر کلون شد Rubiaceae (Sun et al. 2011). *Ophiorrhiza pumila* (Yamazaki et al. 2013) نیز آلکالوئید ضد سرطان کمپتوتسین را در خود تجمع می‌دهد. در پژوهشی با استفاده از تلفیق تجزیه و تحلیل عمیق ترانسکریپتوم با متابولیت پروفایلینگ، ژن‌های کاندید درگیر در بیوستری کمپتوتسین و سایر متابولیت‌های گیاه شناسایی شد (Curcuma longa). در مطالعه‌ای که بر روی گیاه زردچوبه تحقیق برای اولین بار رونوشت‌هایی مربوط به مسیرهای متaboliti ثانویه و مسیرهای بیوستری ترپن‌ها شناسایی شد. در این تحقیق برای اولین بار رونوشت‌هایی مربوط به مسیرهای

² Taxol³ Curcumin⁴ Vinblastine¹ Camptothecin

دارویی زنیان شد که شناسایی این رونوشت‌ها امکان تحقیقات بیشتر را در زمینه مسیرهای بیوستزی متابولیت‌های ثانویه گیاه دارویی با ارزش زنیان فراهم می‌کند. مطالعه مسیرهای بیوستز متابولیت‌های ثانویه گیاهی و مکانیسم ژنتیکی مربوطه می‌تواند تولید تجاری داروها را از طریق اصلاح مولکولی، مهندسی متابولیت و گیاهان تاریخت تسهیل کند.

منابع

- Ajikumar PK, Xiao W-H, Tyo KE, Wang Y, Simeon F, Leonard E, Mucha O, Phon TH, Pfeifer B and Stephanopoulos G (2010) Isoprenoid pathway optimization for Taxol precursor overproduction in *Escherichia coli*. *Science* 330:70-74.
- Akbarinia A, Sefidkon F, Ghalavand A, Tahmasebi Sarvestani Z and Sharifi Ashorabadi A (2005) A study on chemical composition of Ajowan (*Trachyspermum ammi*) essential oil produced in Qazvin. *The Journal of Qazvin University of Medical Science* 9:22-26.
- Annadurai RS, Neethiraj R, Jayakumar V, Damodaran AC, Rao SN, Katta MA, Gopinathan S, Sarma SP, Senthilkumar V and Niranjan V (2013) De Novo transcriptome assembly (NGS) of *Curcuma longa* L. rhizome reveals novel transcripts related to anticancer and antimalarial terpenoids. *PloS one* 8:e56217.
- Bairwa R (2012) Medicinal uses of *Trachyspermum ammi*: a review. *The Pharma Research* 5:247-258.
- Barrero RA, Chapman B, Yang Y, Moolhuijzen P, Keeble-Gagnère G, Zhang N, Tang Q, Bellgard MI and Qiu D (2011) De novo assembly of *Euphorbia fischeriana* root transcriptome identifies prostratin pathway related genes. *BMC genomics* 12:600.
- Bolger AM, Lohse M and Usadel B (2014) Trimmomatic: a flexible trimmer for Illumina sequence data. *Bioinformatics* 30:2114-2120.
- Carretero-Paulet L, Cairo A, Botella-Pavía P, Besumbes O, Campos N, Boronat A and Rodríguez-Concepción M (2006) Enhanced flux through the methylerythritol 4-phosphate pathway in *Arabidopsis* plants overexpressing deoxylulose 5-phosphate reductoisomerase. *Plant Molecular Biology* 62:683-695.
- Davazdahemami S, Sefidkon F, Jahansooz M and Mazaheri D (2011) Chemical Composition of the Essential Oils from Foliages and Seeds of Ajowan (*Trachyspermum ammi* (L.) Sprague) in two planting dates (spring and summer). *Journal of Essential Oil Bearing Plants* 14:639-642.
- Degenhardt J, Köllner TG and Gershenzon J (2009) Monoterpene and sesquiterpene synthases and the origin of terpene skeletal diversity in plants. *Phytochemistry* 70:1621-1637.
- Drew DP, Dueholm B, Weitzel C, Zhang Y, Sensen CW and Simonsen HT (2013) Transcriptome Analysis of *Thapsia laciniata* Rouy Provides Insights into Terpenoid

افزایش معنادار تولید و تجمع ترپن در گیاه نعنافلفلی (*Mentha piperita* Wildung and Croteau 2005), اریبیدوپسیس Enfissi et al. 2006) و گوجه (Carretero-Paulet et al. 2005) شده است.

در این پژوهش استفاده از توالی‌یابی RNA منجر به شناسایی ژن‌های مرتبط با مسیر بیوستزی اسکلت ترپن‌ها در گیاه دارویی

Biosynthesis and Diversity in Apiaceae. *International Journal of Molecular Sciences* 14:9080-9098.

Enfissi E, Fraser PD, Lois LM, Boronat A, Schuch W and Bramley PM (2005) Metabolic engineering of the mevalonate and non-mevalonate isopentenyl diphosphate-forming pathways for the production of health-promoting isoprenoids in tomato. *Plant Biotechnology Journal* 3:17-27.

Grabherr MG, Haas BJ, Yassour M, Levin JZ, Thompson DA, Amit I, Adiconis X, Fan L, Raychowdhury R and Zeng Q (2011) Full-length transcriptome assembly from RNA-Seq data without a reference genome. *Nature Biotechnology* 29:644-652.

Guo X, Li Y, Li C, Luo H, Wang L, Qian J, Luo X, Xiang L, Song J and Sun C (2013) Analysis of the *Dendrobium officinale* transcriptome reveals putative alkaloid Biosynthetic genes and genetic markers. *Gene* 527:131-138.

Hamilton JP and Robin Buell C (2012) Advances in plant genome sequencing. *The Plant Journal* 70: 177-190.

Han X-J, Wang Y-D, Chen Y-C, Lin L-Y and Wu Q-K (2013) Transcriptome sequencing and expression analysis of terpenoid biosynthesis genes in *Litsea cubeba*. *PloS One* 8:e76890.

Hao D, Ma P, Mu J, Chen S, Xiao P, Peng Y, Huo L, Xu L and Sun C (2012) De novo characterization of the root transcriptome of a traditional Chinese medicinal plant *Polygonum cuspidatum*. *Science China Life Sciences* 55:452-466.

Hao DC, Ge G, Xiao P, Zhang Y and Yang L (2011) The first insight into the tissue specific taxus transcriptome via Illumina second generation sequencing. *PloS One* 6:e21220.

He M, Wang Y, Hua W, Zhang Y and Wang Z (2012) De novo sequencing of *Hypericum perforatum* transcriptome to identify potential genes involved in the biosynthesis of active metabolites. *PloS One* 7:e42081.

Kalra S, Puniya BL, Kulshreshtha D, Kumar S, Kaur J, Ramachandran S and Singh K (2013) De Novo Transcriptome Sequencing Reveals Important Molecular Networks and Metabolic Pathways of the Plant, *Chlorophytum borivilianum*. *PloS One* 8:e83336.

Kanehisa M, Sato Y, Kawashima M, Furumichi M and Tanabe M (2015) KEGG as a reference resource for gene and protein annotation. *Nucleic Acids Research* 44:D457-D462.

- Mirzahosseini SM, Noori SAS, Amanzadeh Y, Javid MG and Howyzeh MS (2017) Phytochemical assessment of some native ajowan (*Therachyspermum ammi* L.) ecotypes in Iran. Industrial Crops and Products 105:142-147.
- Moriya Y, Itoh M, Okuda S, Yoshizawa AC and Kanehisa M (2007) KAAS: an automatic genome annotation and pathway reconstruction server. Nucleic Acids Research 35:W182-W185.
- Pichersky E and Lewinsohn E (2011) Convergent evolution in plant specialized metabolism. Annual Review of Plant Biology 62:549-566.
- Sallaud C, Rontein D, Onillon S, Jabès F, Duffé P, Giacalone C, Thoraval S, Escoffier C, Herbette G and Leonhardt N (2009) A novel pathway for sesquiterpene biosynthesis from Z, Z-farnesyl pyrophosphate in the wild tomato *Solanum habrochaites*. The Plant Cell Online 21:301-317.
- Sangwan RS, Tripathi S, Singh J, Narnoliya LK and Sangwan NS (2013) *De novo* sequencing and assembly of *Centella asiatica* leaf transcriptome for mapping of structural, functional and regulatory genes with special reference to secondary metabolism. Gene 525:58-76.
- Sapir-Mir M, Mett A, Belausov E, Tal-Meshulam S, Frydman A, Gidoni D and Eyal Y (2008) Peroxisomal Localization of Arabidopsis Isopentenyl Diphosphate Isomerasases Suggests That Part of the Plant Isoprenoid Mevalonic Acid Pathway Is Compartmentalized to Peroxisomes. Plant Physiology 148:1219-1228.
- Shi C-Y, Yang H, Wei C-L, Yu O, Zhang Z-Z, Jiang C-J, Sun J, Li Y-Y, Chen Q and Xia T (2011) Deep sequencing of the *Camellia sinensis* transcriptome revealed candidate genes for major metabolic pathways of tea-specific compounds. BMC Genomics 12:131.
- Soltani-Howyzeh M (2017) Transcriptome Analysis of Medicinal Plant *Trachyspermum ammi* (L.) Sprague and Identification of Terpene synthases Genes Related to Thymol Biosynthesis. Dissertation, University of Tehran, Iran.
- Strickler SR, Bombarély A and Mueller LA (2012) Designing a transcriptome next-generation sequencing project for a nonmodel plant species. American Journal of Botany 99:257-266.
- Sui C, Zhang J, Wei J, Chen S, Li Y, Xu J, Jin Y, Xie C, Gao Z and Chen H (2011) Transcriptome analysis of *Bupleurum chinense* focusing on genes involved in the biosynthesis of saikogenins. BMC Genomics 12:539.
- Sun Y, Luo H, Li Y, Sun C, Song J, Niu Y, Zhu Y, Dong L, Lv A and Tramontano E (2011) Pyrosequencing of the *Camptotheca acuminata* transcriptome reveals putative genes involved in camptothecin biosynthesis and transport. BMC Genomics 12:533.
- Wang W, Wang Y, Zhang Q, Qi Y and Guo D (2009) Global characterization of *Artemisia annua* glandular trichome transcriptome using 454 pyrosequencing. BMC Genomics 10:465.
- Wang Z, Gerstein M and Snyder M (2009) RNA-Seq: a revolutionary tool for transcriptomics. Nature Reviews Genetics 10:57-63.
- Wenping H, Yuan Z, Jie S, Lijun Z and Zhezhi W (2011) De novo transcriptome sequencing in *Salvia miltiorrhiza* to identify genes involved in the biosynthesis of active ingredients. Genomics 98:272-279.
- Wildung MR and Croteau RB (2005) Genetic engineering of peppermint for improved essential oil composition and yield. Transgenic Research 14:365-372.
- Wink M (2011). Annual Plant Reviews, Biochemistry of Plant Secondary Metabolism, John Wiley and Sons.
- Wu Q, Sun C, Luo H, Li Y, Niu Y, Sun Y, Lu A and Chen S (2011) Transcriptome analysis of *Taxus cuspidata* needles based on 454 pyrosequencing. Planta Medica 77:394-400.
- Xiao M, Zhang Y, Chen X, Lee E-J, Barber CJ, Chakrabarty R, Desgagné-Penix I, Haslam TM, Kim Y-B and Liu E (2013) Transcriptome analysis based on next-generation sequencing of non-model plants producing specialized metabolites of biotechnological interest. Journal of Biotechnology 166:122-134.
- Xie Z, Kapteyn J and Gang DR (2008) A systems biology investigation of the MEP/terpenoid and shikimate/phenylpropanoid pathways points to multiple levels of metabolic control in sweet basil glandular trichomes. The Plant Journal 54:349-361.
- Yamazaki M, Mochida K, Asano T, Nakabayashi R, Chiba M, Udomson N, Yamazaki Y, Goodenow DB, Sankawa U and Yoshida T (2013) Coupling deep transcriptome analysis with untargeted metabolic profiling in *Ophiorrhiza pumila* to further the understanding of the biosynthesis of the anti-cancer alkaloid camptothecin and anthraquinones. Plant and Cell Physiology 54: 686-696.
- Yang D, Du X, Liang X, Han R, Liang Z, Liu Y, Liu F and Zhao J (2012) Different roles of the mevalonate and methylerythritol phosphate pathways in cell growth and tanshinone production of *Salvia miltiorrhiza* hairy roots. PLoS One 7:e46797.
- Yang L, Ding G, Lin H, Cheng H, Kong Y, Wei Y, Fang X, Liu R, Wang L and Chen X (2013) Transcriptome analysis of medicinal plant *Salvia miltiorrhiza* and identification of genes related to tanshinone biosynthesis. PLoS One 8:e80464.
- Zarshenas M, Samani S, Petramfar P and Moein M (2014) Analysis of the essential oil components from different *Carum copticum* L. samples from Iran. Pharmacognosy Research 6:62-66.
- Zeng S, Xiao G, Guo J, Fei Z, Xu Y, Roe BA and Wang Y (2010) Development of a EST dataset and characterization of EST-SSRs in a traditional Chinese medicinal plant, *Epimedium sagittatum* (Sieb. Et Zucc.) Maxim. BMC Genomics 11:94.
- Zhu L, Zhang Y, Guo W, Xu X-J and Wang Q (2014) De Novo Assembly and Characterization of *Sophora japonica* Transcriptome Using RNA-seq. BioMed Research International 2014:750961.
- Zwenger S and Basu C (2008) Plant terpenoids: applications and future potentials. Biotechnology and Molecular Biology Reveiws 3:1-7.